

# SOLUZIONI DI EQUILIBRIO

$$\dot{\bar{x}} = \bar{f}(\bar{x}) \quad (*) \quad \leftarrow \quad \dot{\bar{x}}(t) = \bar{f}(\bar{x}(t)) \quad \text{verso } t$$

Delle soluzioni particolari sono FUNZIONI COSTANTI

$$\bar{x}(t) = \bar{c} \quad \bar{c} \in \mathbb{R}^n \quad \text{con } \bar{c} \text{ t.c. } \bar{f}(\bar{c}) = 0$$

$\uparrow$   
cost. indip. da  $t$

Tali soluz. particolari sono dette "punti di EQUILIBRIO" le cui traiettorie sono pti.

Prop. I punti di Equil. dell'ep. (\*) sono tutti e soli i pti dove  $\bar{f}(\bar{x})$  si annulla. ("pti singolari" del campo vettoriale)

Corollario. Nel sistema meccanico  $\ddot{x} = f(x, \dot{x})$ ,  $\begin{matrix} \bar{f} = \begin{pmatrix} \bar{v} \\ f(x, \dot{x}) \end{pmatrix} \\ \begin{matrix} \uparrow v \\ \rightarrow x \end{matrix} \end{matrix}$   
i pti singolari o di equilibrio sono del tipo  $\bar{c} = (c, 0)$  con  $f(c, 0) = 0$   $\leftarrow$  Nel piano d'fax i pti di equil. giacciono sull'es. delle assisse

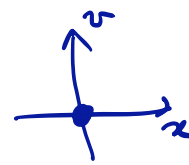
Dim. Pti equil. sono gli zeri di  $\bar{f}(x, v)$ , cioè soluz. d'equaz.  $\begin{cases} f_1(x, v) = 0 \\ f_2(x, v) = 0 \end{cases} \xleftrightarrow{\text{cst. mecc.}} \begin{cases} v = 0 \\ f(x, 0) = 0 \end{cases} //$

(Nei pti di equil.  $(c, 0)$  la risultante delle forze si annulla.)

ES. PARTICELLA LIBERA  $\ddot{x} = 0$   $f$  è identica. mille  
e purind. i pti d'equil. sono  $(c, 0) \quad c \in \mathbb{R}$   $\begin{matrix} \uparrow v \\ \rightarrow x \end{matrix}$

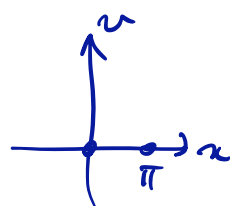
ES. oscil. arm.  $f(x, v) = -\omega^2 x$

$\rightarrow$  pti' equil.  $c=0$



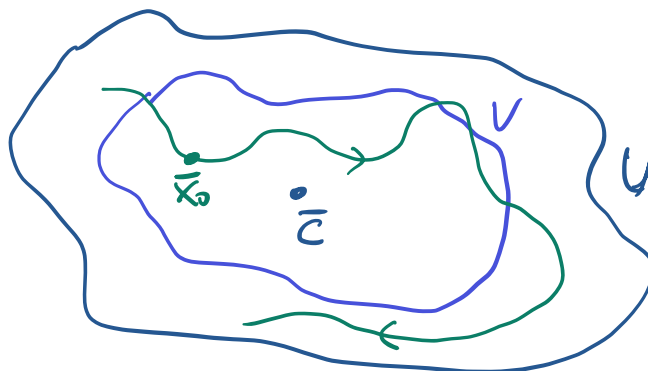
ES. PENDOLO  $f(x, v) = -\sin x$  ( $\omega=1$ )

$\rightarrow$  pti' equil.  $c=0, \pi$



Attorno ai pti' di equilibrio possiamo avere informazioni APPROSSIMATE sulle soluz., anche in sistemi complicati.

Def. Un pto d' equil.  $\bar{c}$  d $\dot{x} = \bar{f}(\bar{x})$  ( $\bar{f}'(\bar{c})=0$ ) è STABILE ( $\circ$  stab. nel futuro,  $\circ$  stab. nel passato) se  $\forall$  intorno  $U$  d $\bar{c}$ ,  $\exists$  intorno  $V$  d $\bar{c}$ , t.c. ogni movimento  $\bar{x}(t; \bar{x}_0)$  con  $\bar{x}_0 \in V$  resta in  $U$   $\forall t$  ( $\forall t > 0$ ,  $\forall t < 0$ )



( $c=0$  è stab.  
n'l pendolo;  
 $c=\pi$  non è stab.)

Def.  $\bar{c}$  è INSTABILE se non è stabile.

Def.  $\bar{c}$  è ASINTOTICAMENTE STAB. per tempi positivi (negativi) quando

a) è stab. per  $t \geq 0$  ( $t \leq 0$ ) e

b)  $\exists B$  intorno d $\bar{c}$  (BACINO DI ATTRAZIONE) t.c.

$\forall \bar{x}_0 \in B \quad \bar{x}(t; \bar{x}_0) \rightarrow \bar{c} \quad \text{per } t \rightarrow +\infty \quad (\text{t} \rightarrow -\infty)$



## TEOREMA DI LJAPUNOV

Se conosciamo la soluzione di  $\dot{x} = \bar{f}(x)$  (\*), possiamo dire se un pto di equilibrio è STABILE o INSTABILE.

Ma se non siamo in grado d' risolvere (\*) ? C'è seguente teor.:

Prop. Sia  $\bar{c}$  un pto di equilibrio per (\*) in  $\mathbb{R}^l$  (cioè  $\bar{f}(\bar{c})=0$ ).

Se in un intorno  $U_c$  di  $\bar{c}$   $\exists$  una variabile dinamica

$w: \mathbb{R}^l \rightarrow \mathbb{R}$  ("funzione di Ljapunov") t.c.

a)  $w$  ha un MINIMO STRETTO in  $\bar{c}$ , cioè

$$w(\bar{x}) > w(\bar{c}) \quad \text{in } U_c \setminus \{\bar{c}\}$$

b)  $L_{\bar{f}} w \leq 0$  in  $U_c$  (cioè  $w$  è non-crescente<sup>non-decrecente, costante</sup> lungo  
 $(\geq)(=)$  ogni moto in  $U_c$  per  $t$  crescente)

$\Rightarrow \bar{c}$  è un punto di EQUILIBRIO STABILE per tempi positivi (negativi) (per tutti i tempi).

[Il teorema di Ljapunov permette di avere informazioni sulle stabilità del pto di equilibrio in modo rapido, senza dare risoluzione (\*)]

Dim. Dobbiamo dimostrare che  $\forall$  intorno  $U$  di  $\bar{c}$ , esiste un intorno  $V$  di  $\bar{c}$  t.c.  $\forall \bar{x}_0 \in V$  la traiettoria stia interamente in  $U$  per tempi positivi.

DATE  $w$  come nelle ipotesi, possiamo sempre costruire l'intorno  $V$  nel seguente modo:

- prendiamo una palla  $B$  contenuta in  $U \cap U_c$  e centrata in  $\bar{c}$ ;
- le sfere  $\partial B$  è chiusa e completa  $\Rightarrow$   
 $\Rightarrow W(\bar{x})$  ha un minimo assoluto su un pto  $\bar{b} \in \partial B$   
cioè  $W(\bar{x}) \geq W(\bar{b}) = l \quad \forall \bar{x} \in \partial B$
- definiamo  $V = \{\bar{x} \in B \mid W(\bar{x}) < l\}$
- $V$  è un intorno di  $\bar{c}$ , perché sicuramente  $\bar{c} \in V$  per a)
- prendiamo  $\bar{x}_0 \in V$ ; il moto con tale sfere iniziale  $\dot{\bar{x}}(t; \bar{x}_0)$  soddisfa per b):  
 $W(\dot{\bar{x}}(t; \bar{x}_0)) < W(\bar{x}_0) \quad \forall t > 0 \quad (*)$   
perché  $\dot{w}(\dot{\bar{x}}(t; \bar{x}_0)) = \mathcal{L}_f W(\dot{\bar{x}}(t; \bar{x}_0)) \leq 0$
- $(*) \Rightarrow \dot{\bar{x}}(t; \bar{x}_0)$  non può intersecare  $\partial B$   $\forall t > 0$   
(il che implica che non può uscire da  $U$ )  
perché un tale pto  $\bar{x}_{int}$  di intersezione avrebbe  
 $W(\bar{x}_{int}) \geq l > W(\bar{x}_0)$   

perché  $\bar{x}_{int} \in \partial B$       visto che  $\bar{x}_0 \in V$

//

Corollario. Si consideri un sist. meccanico con forte  
puntualmente positivi:

$$\begin{cases} \dot{x} = v \\ \ddot{v} = f(x) \end{cases}$$

Se l'en. potenziale  $V(x)$  ha un MIN. ISOLATO  
in  $x^* \in \mathbb{R}$ , allora  $\bar{c} = (x^*, 0) \in \mathbb{R}^2$  è un pto d'equil. STABILE.

Dim. Se  $V(x)$  ha min. stretto in  $x^*$ , allora

$$f(x^*) = -\frac{V'(x^*)}{m} = 0;$$

inoltre  $E(x, v) = \frac{1}{2}mv^2 + V(x)$  ha anch'esso un  
min. isolato, e si trova in  $\bar{c} = (x^*, 0) \Rightarrow a)$  del  
teor. d'lfsp.

Inoltre  $E$  è una cost. del moto  $\Rightarrow L_f E = 0 \Rightarrow b)$

Il risultato del corollario s'estende a tutti i sist. meccanici  
a più gradi d' libertà per i quali si può scrivere  
l'en. forte come somma di en. cin. e en. rot.  
def. positiva

Stabilità nel futuro persiste anche se efficienza  
alle forze non termiche dissipativa

E.S.  $\ddot{x} = -\omega^2 x - 2\mu \dot{x}$        $V(x) = \frac{1}{2} m \omega^2 x^2$

$$\tilde{f} = \begin{pmatrix} v \\ -\omega^2 x - 2\mu v \end{pmatrix} \quad \begin{matrix} f_1 \\ f_2 \end{matrix}$$

$$E = \frac{1}{2} m v^2 + \frac{1}{2} m \omega^2 x^2$$

$$\begin{aligned} L_f E &= \frac{\partial E}{\partial x} f_1 + \frac{\partial E}{\partial v} f_2 = \cancel{m \omega^2 x \cdot v} + \\ &\quad + m v \cdot (-\cancel{\omega^2 x} - 2\mu v) \\ &= -2\mu m v^2 \leq 0 \end{aligned}$$

## STUDIO ATTORNO AI PTI D' EQUIL.

Linearizzazione: studio locale attorno al pto d'equil.,  
nel quale si approssima il sistema non-lineare  
("difficile") con un sistema lineare ("facile")

Sistema lineare in  $\mathbb{R}^l$  è un sist. d'eq. diff. lineari  
del tipo  $\dot{\bar{x}} = A \bar{x}$        $\bar{x}$  a valori in  $\mathbb{R}^l$   
e  $A$  una matrice  $l \times l$

Perturbazione di un sistema autonomo

$$\dot{\bar{x}} = \tilde{f}(\bar{x}) \quad \bar{x} \in \mathbb{R}^l \quad \tilde{f}: \mathbb{R}^l \rightarrow \mathbb{R}^l$$

A.c.  $\tilde{f}$  ha un pto singolare (pto equil.) in  $\bar{c}$  ( $\tilde{f}(\bar{c}) = 0$ )

Siccome vogliamo studiare le soluz.  $\bar{x}(t)$ , quando  
passano per più vicini a  $\bar{c}$ , ci interessa il  
comportamento di  $f$  attorno a  $\bar{c}$ , cioè per  $\|\bar{x} - \bar{c}\| < 1$   
 $\rightsquigarrow$  esp. di Taylor attorno a  $\bar{c}$

$$f_i(\bar{x}) = \cancel{f_1(\bar{c})} + \sum_{j=1}^l \frac{\partial f_i(z)}{\partial x_j} (x_j - c_j) + O(\|\bar{x} - \bar{c}\|^2)$$

$\Downarrow A_{ij}$

Attorno a  $\bar{c}$  la funz.  $\bar{f}$  è bene approssimata da

$$\dot{\bar{x}} = \bar{f}(\bar{x}) = A \cdot (\bar{x} - \bar{c}) + \dots \quad \text{con} \quad A_{ij} = \frac{\partial f_i(z)}{\partial x_j}$$

$$\text{Def. } \xi = \bar{x} - \bar{c}$$

$$\dot{\xi}(t) \approx \bar{x}(t) - \bar{c} \quad \text{soddisfa ep. lineare}$$

$$\dot{\xi} = \dot{\bar{x}} = A \cdot (\bar{x} - \bar{c}) + O(\|\bar{x} - \bar{c}\|^2) = A \cdot \xi + O(\|\xi\|^2)$$

$$\downarrow$$

$$\dot{\xi} = A \cdot \xi + O(\|\xi\|^2) \quad \leftarrow \begin{array}{l} \text{ep. lineare da} \\ \text{approssimazione lineare} \\ \dot{\bar{x}} = \bar{f}(\bar{x}) \quad \text{in } \|\bar{x} - \bar{c}\| < 1 \end{array}$$

trascuriamo

$$(\text{risulto, ottieniamo } \dot{\xi}(t) \Rightarrow \bar{x}(t) = \xi(t) + \bar{c}).$$

Se il sist. autonomo viene da

$$\ddot{x} = f(x) \quad \bar{f} = \begin{pmatrix} 0 & 1 \\ f(x) & 0 \end{pmatrix} \rightarrow A = \begin{pmatrix} 0 & 1 \\ f(c) & 0 \end{pmatrix}$$

$$\dot{\vec{y}} = A \vec{y} \quad \leftarrow \begin{array}{l} \text{sistema di} \\ \text{eq. diff. LINEARE del 1° ordine, omogenea} \end{array}$$

↓

soluzione generale sarà combinat. lineare  
di  $\ell$  soluz. particolari indipendenti.

Facoltativo: ↗

Cerchiamo soluz. particolari della forma

$$\vec{z}(t) = \varphi(t) \cdot \vec{u} \quad \vec{u} \in \mathbb{R}^e \text{ vett. cost.} \quad (\star)$$

- ci interessano soluz. non-banali  $\Rightarrow \vec{z}(t)$  non si annulla mai.

(  $\exists$  soluz. t.c.  $\vec{z}(t_0) = 0$  e questa è la soluz.  $\vec{z}(t) = 0 \quad \forall t \Rightarrow$  le altre frontiere non possono farlo per  $\vec{z} = 0$  )

- sostituiamo  $(\star)$  in  $(*)$ :

$$\dot{\underline{\underline{\vec{z}(t) \cdot \vec{u}}}} = A(\varphi(t) \cdot \vec{u}) = \underline{\underline{\varphi(t) A \vec{u}}} \quad \leftarrow$$

l'uguaglianza è possibile solo se  $\vec{u}$  e  $A\vec{u}$   
sono vett. paralleli  $\Rightarrow \exists \alpha \in \mathbb{R}$  t.c.  $\boxed{A\vec{u} = \alpha \vec{u}}$  (o)

$$- \dot{\underline{\underline{\vec{z}(t)}}} = \alpha \underline{\underline{\vec{z}(t)}} \Rightarrow \underline{\underline{\vec{z}(t)}} = C e^{\alpha t} \quad C = \underline{\underline{\vec{z}(0)}}$$

- (o) ci dice che  $\vec{u}$  è un AUTOVETT. d'  $A$   
con AUTOVAL.  $\alpha$ .

Prop. Eq. lin.  $\dot{\xi} = A \xi$  ha soluz. particolare

$$\xi(t) = C e^{\alpha t} \cdot \bar{u}$$

dove  $\bar{u}$  è autov. di  $A$  con autoval.  $\alpha$ .

Per risolvere (\*) bisogna diagonalizzare  $A$ .

Se  $\exists$  una base di autovettori ( $A$  diagonalizzabile)

allora posso scrivere la soluz. generale come

$$\xi(t) = \sum_{j=1}^l c_j e^{\alpha_j t} \bar{u}_j$$

autovet.  
autoval.

ASIDE: tornerà dopo aver studiato Sist. Lagrangiani

$$\text{Sist. Lagrangiano } L = \frac{1}{2} \dot{\bar{x}} \cdot A \dot{\bar{x}} - \frac{1}{2} \bar{x} \cdot B \bar{x}$$

$$\text{eq: } A \ddot{\bar{x}} = -B \bar{x}$$

$$\begin{cases} A \dot{\bar{x}} = -B \bar{x} \\ \dot{\bar{x}} = \bar{v} \end{cases} \quad \begin{pmatrix} \dot{\bar{x}} \\ \bar{v} \end{pmatrix} = \begin{pmatrix} \bar{v} \\ -A^{-1}B\bar{x} \end{pmatrix} = \begin{pmatrix} 0 & 1 \\ -A^{-1}B & 0 \end{pmatrix} \begin{pmatrix} \bar{x} \\ \bar{v} \end{pmatrix}$$

Soluz. generale:

- autovalori  $\theta = \det \begin{pmatrix} \lambda_{11} & -1 \\ A^{-1}B & \lambda_{11} \end{pmatrix} = \det \begin{pmatrix} 0 & 1 \\ A^{-1}B + \lambda^2 I & 0 \end{pmatrix}$

$$\begin{pmatrix} 0 & 1 \\ -A^{-1}B & 0 \end{pmatrix} \begin{pmatrix} u \\ w \end{pmatrix} = \lambda \begin{pmatrix} u \\ w \end{pmatrix} = \det A^{-1} \det (B + \lambda^2 A)$$

$$\begin{aligned} \bar{w} &= \lambda \bar{u} \\ -A^{-1}B \bar{u} &= \lambda \bar{w} \end{aligned} \Rightarrow \begin{cases} B \bar{u} = -\lambda^2 A \bar{u} \\ \bar{w} = \lambda \bar{u} \end{cases} \rightarrow$$

Inoltre se  $A$  e  $B$  sono def. pos. l'eq.  $\det(B + \lambda^2 A) = 0$  ha

solut. solo se  $\lambda^2 < 0$  cioè  $\lambda$  immaginaria

$\lambda = i\omega \leftarrow$  in coppia  
pochi metri  
reali

$$\begin{pmatrix} \bar{x} \\ \bar{v} \end{pmatrix} = \sum_{j=1}^m \left[ C_j e^{i\omega_j t} \begin{pmatrix} \bar{u}_j \\ i\omega_j \bar{u}_j \end{pmatrix} + C_j^* e^{-i\omega_j t} \begin{pmatrix} \bar{u}_j \\ -i\omega_j \bar{u}_j \end{pmatrix} \right]$$

solut. reali

$$\begin{pmatrix} u_j \\ i\omega_j u_j \end{pmatrix} e^{\begin{pmatrix} u_j \\ -i\omega_j u_j \end{pmatrix}}$$



$$\bar{x} = \sum_{j=1}^m C_j e^{i\omega_j t} \bar{u}_j + \sum_j C_j^* e^{-i\omega_j t} \bar{u}_j$$

$$\bar{v} = \sum_{j=1}^m C_j i\omega_j e^{i\omega_j t} \bar{u}_j + \sum_j C_j^* (-i\omega_j) e^{-i\omega_j t} \bar{u}_j$$

due soluz. indip.  
relative a un  $\lambda^2$